

ний рассеяния электронов на атомах и молекулах, находящиеся областей неустойчивости неравновесной слабоионизованной плазмы. Использование корректных уравнений переноса позволит проводить достаточно надежные расчеты характеристик неравновесной слабоионизированной плазмы в электрическом и магнитном полях.

Поступила 24 V 1983

#### ЛИТЕРАТУРА

1. Власов М. Н., Кочетов И. В., Минин Е. В., Певгов В. Г., Телегин В. А. Функция распределения электронов по энергиям и тепловой баланс ионосферной плазмы при наличии электрических полей. Препринт ИЗМИРР АН СССР № 25(338). М., 1981.
2. Вулс Л. А., Генкин А. Л., Фоменко Б. А. Теория и расчет магнитогазодинамических течений в каналах. М.: Атомиздат, 1971.
3. Бондаренко Т. С., Турко М. Н. О влиянии магнитного поля на кинетические характеристики плазмы разряда.— Изв. СО АН СССР. Сер. техн. наук, 1971, т. 8, № 2.
4. Афонин Ю. В., Оришич А. М., Пономаренко А. Г. Однородность объемного разряда, контролируемого электронным пучком в поперечном магнитном поле.— ПМТФ, 1979, № 5.
5. Wagner E. B., Davis F. J., Hurst G. S. Time-of-flight investigations of electron transport in some atomic and molecular gases.— J. Chem. Phys., 1967, vol. 47, N 9.
6. Parker J. H., Lowke J. J. Theory of electron diffusion parallel to electric fields. I. Theory.— Phys. Rev., 1969, vol. 181, N 4; Scullerud H. R. Longitudinal diffusion of electrons in electrostatic fields in gases.— J. Phys. B, ser. 2, 1969, vol. 2, N 4.
7. Хаксли Л., Кромтон Р. Диффузия и дрейф электронов в газах. М.: Мир, 1977.
8. Тимофеев А. В. О гидродинамических уравнениях переноса для слабоионизированной плазмы газового разряда.— ЖТФ, 1970, т. 40, № 1.
9. Александров Н. Л., Напартович А. П., Старостин А. Н. Уравнения переноса в неравновесной слабоионизированной плазме.— Физика плазмы, 1980, т. 6, № 5.
10. Александров Н. Л., Напартович А. П., Старостин А. Н. Уравнения переноса электронов в неравновесной слабоионизированной плазме в электрическом и магнитном полях.— Физика плазмы, 1983, т. 9, № 5.
11. Гинзбург В. Л., Гуревич А. В. Нелинейные явления в плазме, находящейся в переменном электромагнитном поле.— УФН, 1960, т. 70, № 2.
12. Шкаровский И., Джонстон Т., Бачинский М. Кинетика частиц плазмы. М.: Атомиздат, 1969.

УДК 533.932+533.601.18

#### О ПЕРЕДАЧЕ ИМПУЛЬСА ГАЗОВЫХ ИОНОВ ПОВЕРХНОСТИ ТВЕРДОГО ТЕЛА

B. A. Шувалов

(Днепропетровск)

Тепловое и силовое взаимодействие тел с потоком разреженного газа в значительной мере характеризуется коэффициентами обмена импульсом и энергией или эквивалентными им коэффициентами аккомодации. Коэффициенты аккомодации используются при определении конвективных тепловых потоков и аэродинамических характеристик тел в свободномолекулярном режиме обтекания и являются важным элементом расчетных соотношений независимо от принятой схемы взаимодействия атомов газа с поверхностью твердого тела.

В настоящее время наиболее полно теоретически изучен процесс взаимодействия атомов газа с чистыми кристаллическими структурами. Известно значительное количество работ, посвященных численному моделированию столкновения атомных частиц с поверхностью твердого тела и содержащих приближенные аналитические решения, характеризующие механизм передачи импульса и энергии атомов газа идеальным кристаллическим поверхностям [1].

На практике мишени с идеальной монокристаллической структурой встречаются крайне редко. В большинстве случаев бомбардируемые мишени имеют поликристаллическую структуру; отдельные кристаллиты в этих образцах ориентированы случайным образом. При численном исследовании процесса столкновения атомов газа с атомарно-гладкой поликристаллической поверхностью необходимо осреднение характеристик взаимодействия, что существенно усложняет задачу [2]. В литературе отсутствует в необходимом объеме информация о расчетных и экспериментальных значениях коэффициентов аккомодации газовых молекул для практически важного, с точки зрения аэrodинамики, диапазона энергии частиц  $\sim 1-100$  эВ. Поэтому исследование особен-

ностей взаимодействия для различных систем газ — поверхность в указанном диапазоне частиц представляет значительный интерес.

В данной работе приведены результаты экспериментального исследования влияния ряда факторов, характеризующих взаимодействие газа с поверхностью, на величину коэффициентов аккомодации импульса газовых ионов с атомной массой от 4 до 131.

Потоки импульса и энергии, переносимые газовыми ионами к электропроводящей поверхности твердого тела в разреженной среде, в значительной степени характеризуются знанием коэффициентов аккомодации энергии  $\alpha_i$ , нормального  $\sigma_n$  и тангенциального  $\sigma_t$  импульса, а также работы выхода материала поверхности  $\chi$  и коэффициента вторичной ионно-электронной эмиссии  $\gamma_i$ .

В [3] из уравнения энергетического баланса для точек на температурной характеристике  $T_w = \bar{T}_w(V)$  с равными температурами при разных потенциалах термоанемометрического зонда получены соотношения, устанавливающие связь между параметрами  $\alpha_i$ ,  $\chi$ ,  $\gamma_i$ . В [4] исследовано влияние разных факторов на передачу энергии газовых ионов поверхностям поликристаллов чистых металлов и технических сплавов. Для контроля степени чистоты исследуемых поверхностей использовались значения  $\gamma_i$ , найденные по данным [3].

Силовое воздействие потока разреженной плазмы на мишень существенно зависит от потенциала поверхности тела. При положительных потенциалах мишени относительно потенциала плазмы ( $V = \varphi_w - \varphi_0 > 0$ ) сила, переданная мишени потоком частично ионизованного газа низкой плотности, определяется бомбардировкой поверхности электронами, быстрыми и медленными нейтралами, возникшими в результате зарядки ионов на остаточном газе, метастабилиями и т. п.

$$F_{V>0} = F_e + F_n + F_0 + F_m + \dots = F_e(V) + \Delta F,$$

где  $F_e$  — силовое давление, обусловленное электронной бомбардировкой;  $F_n$  — вклад быстрых нейтралов;  $F_0$  — вклад остаточных газов,  $F_m$  — силовое воздействие метастабилей. При отрицательных потенциалах мишень испытывает силовое давление, обусловленное бомбардировкой поверхности ионами, нейтралами и метастабилиями:

$$F_{V<0} = F_i + F_n + F_0 + F_m + \dots = F_i(V) + \Delta F,$$

$\Delta F$  не зависит от потенциала мишени.

Учитывая тот факт, что сила давления, обусловленная бомбардировкой поверхности электронами, много меньше силового воздействия, вызванного ионной бомбардировкой [5], имеем

$$(1) \quad \delta F = F_{V<0} - F_{V>0} = F_i - F_e \simeq F_i.$$

Для элемента поверхности тела или мишени, выполненной в виде плоской пластины (круглого диска), силовое взаимодействие с ионной компонентой характеризуется соотношениями [6]

$$C_x \cos \theta + C_y \sin \theta = 2 \cos \theta [p_1 \sqrt{1 + \eta^2} + (p_2 - 1) \sqrt{\cos^2 \theta + \eta^2} + \cos \theta],$$

$$C_x \sin \theta - C_y \cos \theta = \sin 2\theta (\tau_1 + \tau_2) \sqrt{\cos^2 \theta + \eta^2 / 4 + \eta^2}.$$

С другой стороны [1],

$$C_x \cos \theta + C_y \sin \theta = 2 \cos \theta [(2 - \sigma_n) \cos \theta + \sigma_n \sqrt{\pi k T_w / 4 W_i}],$$

$$C_x \sin \theta - C_y \cos \theta = \sigma_t \sin 2\theta,$$

откуда для коэффициентов аккомодации нормального  $\sigma_n$  и тангенциального импульса  $\sigma_t$  получим

$$(2) \quad \sigma_n = \frac{1 + [1 - e(F_x + F_y \operatorname{tg} \theta) \sqrt{2 M_i W_i I_i}] / \sqrt{1 + \eta^2 / \cos^2 \theta}}{1 - \sqrt{\pi k T_w (1 + \eta^2) / 4 W_i (\cos^2 \theta + \eta^2)}},$$

$$\sigma_t = \frac{e (F_x - F_y \operatorname{ctg} \theta)}{\sqrt{2 M_i W_i I_i}},$$

где  $F_x$  — сила сопротивления мишени;  $F_y$  — подъемная сила в потоке ионов;  $\eta^2 = (e|V| + \chi)/W_i$ ,  $W_i$  — энергия, переносимая ионами на поверхность раздела плазма — слой;  $V$  — разность потенциалов, пробегаемая частицей в приэлектродном слое;  $I_i = I_{0i} \cos \theta$ ;  $I_{0i}$  — ионный ток насыщения на зонд при  $\theta = 0$ ;  $\chi = 3,6/d$  — энергия поляризации;  $d$  — расстояние от поверхности мишени, на котором происходит нейтрализация положительных ионов. Для большинства поверхностей и газовых ионов в рассматриваемом диапазоне энергии частиц  $d \approx 2-4 \text{ мм}^{-7}$  [7]. Приближенно, с погрешностью не более  $\sim \pm 10\%$ ,  $d$  может быть найдено как полусумма диаметра газовой молекулы, вычисленного по коэффициенту вязкости, и расстояния между ближайшими атомами решетки мишени [7].

Соотношения (1), (2) позволяют с использованием вольт-амперной, температурной и силовой характеристик мишени-зонда определять параметры силового взаимодействия ионов потока разреженной плазмы с электропроводящей поверхностью. Сила сопротивления  $F_x$  и подъемная сила мишени  $F_y$  в (2) определяются из (1) для двух точек на вольт-амперной характеристике плоского зонда: при потенциале, равном потенциалу плазмы, и для потенциала мишени, соответствующего области насыщения электронного тока. Положение этих точек соответствует двум пикам на электронной ветви вольт-амперной характеристики плоского зонда [8].

Экспериментальные исследования по определению параметров взаимодействия газовых ионов с поверхностями электропроводящих материалов проводились на плазменной газодинамической установке в потоке частично ионизованного газа, генерируемом газоразрядным ускорителем с ионизацией рабочего тела электронным ударом. В качестве рабочих газов использовались гелий, неон, азот, аргон, криптон и ксенон высшей очистки. Ускоренный поток ионов интенсивностью  $j_\infty \approx 10^{17} \text{ см}^{-2} \cdot \text{с}^{-1}$  поступал в рабочую камеру, давление остаточных газов в которой составляло  $\sim (0,9-1,3) \cdot 10^{-4}$  Па. Измерения проводились при давлении в рабочей камере  $\sim (1,16-2,1) \cdot 10^{-3}$  Па. При измерениях использовалась мишень, выполненная в виде плоского термоанемометрического зонда, диск  $\delta \approx 0,22$  мм с рабочей поверхностью диаметром  $\sim 36$  мм, к тыльной стороне которого присоединены элементы токоподвода и миниатюрная термопара. Боковая и теневая поверхности диска, элементы термопары покрыты термостойким диэлектриком (керамика). Перед проведением экспериментов датчик предварительно тарировался в терmostате; определялась зависимость  $T_w = T_w(E)$ , где  $E$  — ЭДС термопары.

Мишени изготавливались из поликристаллов чистых металлов с атомной массой от 27 до 207 и полированной рабочей поверхностью (Al, Ti, Cu, Mo, Ta, W, Pb), химически полированного диска монокристалла Si(III), а также из технических материалов, таких как алюминиевые сплавы АМг6-БМ, Д16АТ (прокатка), нержавеющие стали 12Х18Н10Т, 2Х13, сталь 25 и элемент панелей солнечных батарей. Из элемента панелей солнечных батарей, пластина  $40 \times 20$  мм, было изготовлено два датчика: кремниевый элемент (полированный поликристалл кремния с примесью мышьяка или фосфора) и припой (свинцово-оловянный сплав; теневая сторона панели). Поверхности мишеней из технических материалов соответствовали рабочему состоянию этих материалов [9].

Мишени устанавливались на микровесы компенсационного типа [10], изготовленные на базе стандартной магнитоэлектрической системы миллиамперметра постоянного тока Н359. В качестве следящей системы использовался фотодиодный блок усилителя постоянного тока Ф359, работающего в комплекте с самопищущим миллиамперметром Н359. При использовании микроамперметра магнитоэлектрической системы компенсационный ток, протекающий через рамку прибора, прямо пропорционален приложенному к ней механическому моменту. Державкой-токоподводом мишени служила тонкостенная алюминиевая трубка диаметром 1,7 мм, внутренний канал которой использовался для размещения элементов термопары. Наружная поверхность державки-токоподвода покрыта термостойким диэлектриком (эмаль).

Для повышения чувствительности микровесов, уменьшения вклада величины  $\Delta F$  в баланс сил державка мишени была помещена в диэлектрическую трубку (стекло) с внутренним диаметром  $\sim 18$  мм. В некоторых случаях с той же целью боковая и теневая стороны мишени экранировались от взаимодействия с частицами набегающего потока экраном, находящимся под потенциалом, равным потенциалу мишени. Магнитоэлектрическая система весов экранировалась от контакта с потоком разреженной плазмы диэлектрическим корпусом. Для устранения возможного влияния вибраций весы были установлены на амортизирующей платформе, закрепленной на координатнике. При тарировке микровесов использовалась методика работы [11]. Диапазон измеряемых сил на плече  $L \simeq 450$  мм составляет  $\sim 5 \cdot 10^{-3} - 250$  дин. Измерения проводились в автоматическом режиме с синхронной регистрацией вольт-амперной  $I_\Sigma = I_\Sigma(V)$ , температурной  $T_w = T_w(V)$  и силовой  $F_\Sigma = F_\Sigma(V)$  характеристик.

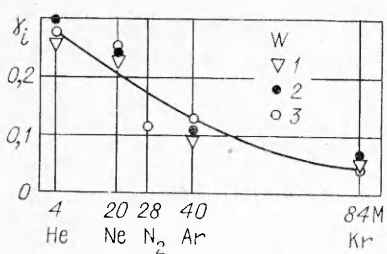
Вольт-амперные характеристики обрабатывались традиционным способом. Энергия ионов потока определялась с помощью многоэлектродного зонда-анализатора. Потенциал плазмы определялся методом второй производной, а также по электронной части зондовой характеристики, построенной в полулогарифмическом масштабе. Это определило высокую точность измерения энергии ионов потока  $W_i$ , переносимой частицами к поверхности раздела плазма — слой. Рассчитанные в предположении, что ускоряющий потенциал равен разности между потенциалом анода источника и локальным потенциалом плазмы, значения  $W_i$  удовлетворительно согласуются с данными, полученными с помощью многоэлектродного зонда-анализатора. Разброс полученных значений  $W_i$  не превосходит  $\pm 4,5\%$ . Для контроля локальных значений параметров потока и ориентации мишени относительно вектора скорости потока использовался тонкий цилиндрический зонд, изготовленный из молибденовой нити диаметром 0,04 и длиной 2,3 мм. Ось зонда параллельна нормали к поверхности мишени. Пик ионного тока, измеряемого таким зондом при вращении вокруг вертикальной или горизонтальной осей, соответствует ориентации зонда вдоль по потоку и позволяет оценить степень неизотермичности потока ( $T_e/T_i \simeq 7-10$  при  $T_e \simeq 4$  эВ) [12].

Погрешность угловой ориентации мишеней в потоке не превышала  $\pm 20'$ .

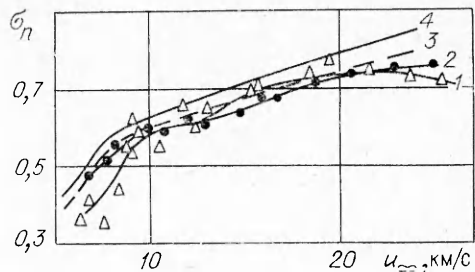
При измерениях особое внимание уделялось чистоте рабочих поверхностей мишеней. Перед проведением измерений мишени при потенциалах поверхности  $V \simeq -250$  В в течение 10—15 мин подвергались принудительной бомбардировке ионами потока разреженной плазмы, после этого в течение 15—20 мин за счет принудительной электронной бомбардировки прогревались до температур, при которых не происходит разрушения материала мишени и термопары. Затем на мишень вновь подавался высокий отрицательный потенциал  $V \simeq -250$  В и в течение  $\sim 10$  мин непосредственно перед проведением измерений рабочие поверхности мишеней подвергались тренировке бомбардировкой потоком плазмы. Вольт-амперные температурные и силовые характеристики снимались, начиная с  $V \simeq -250$  В.

Информацию о степени чистоты исследуемой поверхности можно получить по данным измерения коэффициента вторичной эмиссии  $\gamma_i$ . Найденные при бомбардировке мишеней ионами  $Xe^+$  значения работы выхода позволяют по (4) из [3] определить коэффициент вторичной эмиссии  $\gamma_i$  ионов других газов. Значения работы выхода для мишеней чистых металлов удовлетворительно согласуются с рекомендуемыми из [13] значениями  $\kappa$ . В дополнение к данным [3] измерена работа выхода поликристаллического вольфрама  $\kappa = 4,43$  эВ ( $Xe^+$ ). Рекомендуемое для W значение работы выхода из [13]  $\kappa = 4,52$  эВ.

На фиг. 1 приведены значения  $\gamma_i$ , найденные при бомбардировке поликристаллического W ионами гелия, неона, азота, аргона и криптона с энергией  $\sim 100$  эВ. Точки 1 соответствуют данным [14], 2 — данные [15], 3 — результаты измерений  $\gamma_i$  настоящей работы. Полученные зна-



Ф и г. 1



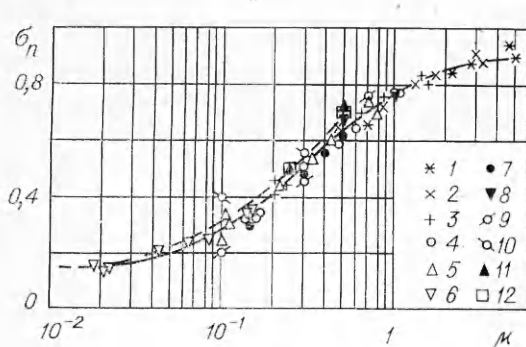
Ф и г. 2

чения практически не изменялись при изменении энергии ионов в диапазоне  $\sim 20-250$  эВ. Это свидетельствует об удовлетворительном состоянии поверхности исследуемой мишени в процессе измерений.

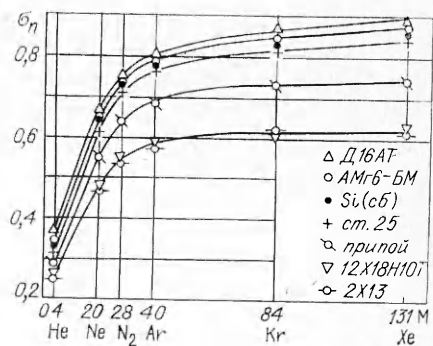
Фиг. 2 иллюстрирует влияние скорости бомбардирующей мишень частицы на величину коэффициента нормального импульса  $\sigma_n$  при  $\theta = 0$  ( $\theta$  — угол атаки мишени) для системы  $N_2^+ - Cu$  ( $\mu = 0,441$ ). Точки 1 — данные [16], кривой 2 обозначены результаты измерений настоящей работы, 3 — расчетные значения  $\sigma_n$  на поверхности твердого тела, моделируемого линейным гармоническим осциллятором, 4 — результаты расчета  $\sigma_n$  при численном моделировании столкновения атомов газа с полу бесконечной решеткой упругосвязанных атомов, выполненные по данным [17] при  $\mu = 0,5$  и  $\epsilon_1 = E/\lambda\sigma^2 \simeq 0,0001$ . Здесь  $\sigma$ ,  $E$  — параметры потенциала Леннарда — Джонса,  $\lambda$  — упругая постоянная решетки мишени. При оценках значений  $\sigma_n$  по данным [17] характеристическая температура  $Cu$  принята равной  $\Theta_{Cu} \simeq 32$  К [18, 19]. Температура мишени при измерении  $\sigma_n$  равнялась  $T_w \simeq 330-340$  К.

Необходимо отметить, что результаты измерений  $\sigma_n$  для системы  $N_2^+ - Cu$  удовлетворительно согласуются с данными измерений  $\sigma_n$  для систем  $Kr^+ - W$  ( $\mu = 0,457$ ) и  $Kr^+ - Ta$  ( $\mu = 0,464$ ). В свою очередь, результаты численных оценок  $\sigma_n$  для  $N_2^+ - Cu$  (кривые 3, 4, фиг. 2) удовлетворительно согласуются с расчетными значениями  $\sigma_n$ , для  $Kr^+ - W$  и  $Kr^+ - Ta$  выполненными с учетом численных данных [17]. Полученные результаты свидетельствуют о преимущественном влиянии в указанном диапазоне скоростей соотношения атомных масс системы газ — металл.

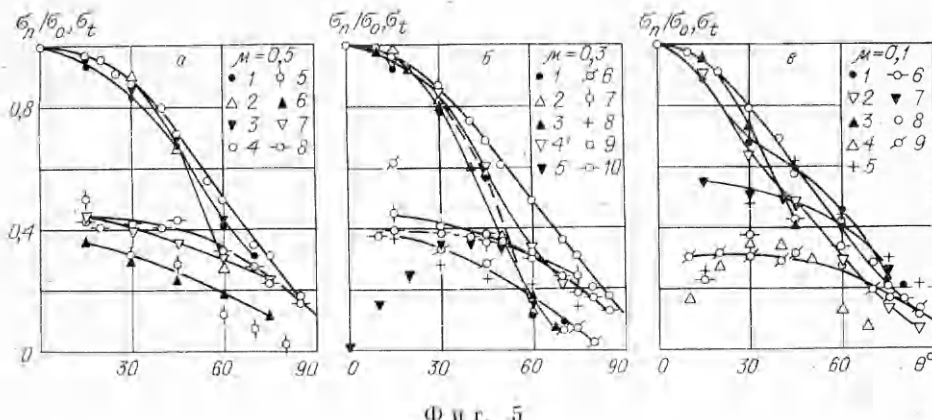
Более наглядно влияние параметра  $\mu$  (отношения масс атомов газа и мишени) при бомбардировке мишеней с атомной массой материала от 27 до 207 и монокристалла Si(III) ионами  $Xe^+$ ,  $Kr^+$ ,  $Ar^+$ ,  $N_2^+$ ,  $Ne^+$  и  $He^+$  при  $u_\infty \simeq 10$  км/с и  $\theta = 0$  иллюстрирует фиг. 3 (точки 1—6 соответственно). Точки 7—12 — результаты расчета при рассеянии атомов газа на плоской квадратной решетке [20], 8 — данные расчетов коэффициентов аккомодации нормального импульса при взаимодействии атомных частиц с поверхностью твердого тела, моделируемого линейным гармоническим



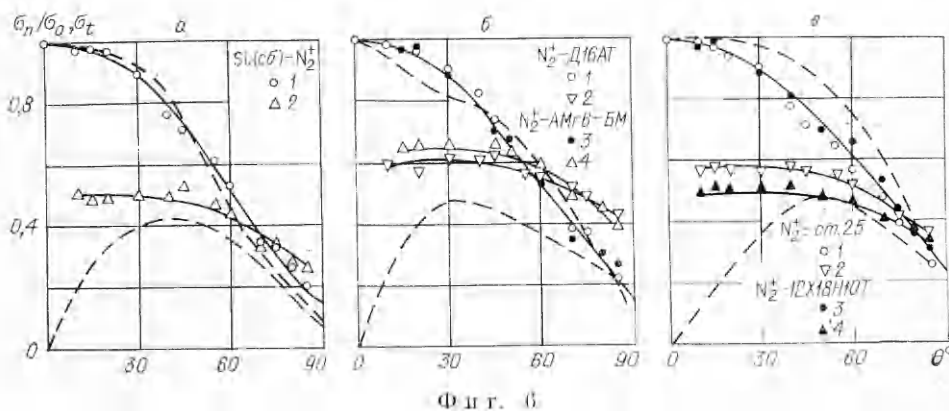
Ф и г. 3



Ф и г. 4



Фиг. 5



Фиг. 6

осциллятором и полубесконечной решеткой упругосвязанных атомов [17]. Точки 9, 10 — результаты численного моделирования процесса взаимодействия атомов газа с трехмерным кристаллом взаимосвязанных атомов [21, 22]. Точки 11 соответствуют расчетным значениям коэффициентов аккомодации нормального импульса при взаимодействии атомов газа с решеткой твердых сфер [1] (с учетом вклада первых и вторых ударов), точки 12 характеризуют передачу нормального импульса атомов газа решетке мягких сфер [1].

Штриховой линией приведены результаты интерполяции расчетных значений  $\sigma_n$  для  $\mu = 0; 0,25$  и  $0,5$  при рассеянии атомных частиц на решетке мягких сфер [1].

Влияние атомной массы газового иона, бомбардирующего поверхности мишени технических материалов при  $u_\infty \approx 10$  км/с и  $\theta = 0$ , на величину  $\sigma_n$  показано на фиг. 4.

Фиг. 5 иллюстрирует характер изменения  $\sigma_n/\sigma_0$  и  $\sigma_t$  при наклонном падении газовых ионов со скоростью  $u_\infty \approx 10$  км/с при  $\mu = 0,1; 0,3$  и  $0,5$  ( $\sigma_0$  — значение  $\sigma_n$  при  $\theta = 0$ ). На фиг. 5, а показаны зависимости  $\sigma_n/\sigma_0$  и  $\sigma_t$  от угла атаки мишени при  $\mu \approx 0,5$ . Кривая 1 — результаты расчета  $\sigma_n(\theta)$  при рассеянии атомов газа на плоской квадратной решетке [20], 2 — данные расчета  $\sigma_n$  при отражении атомов газа от решетки твердых сфер с учетом вклада первых и вторых ударов, точки 3 — результаты расчета взаимодействия атомных частиц с решеткой мягких сфер [1], 4 — результаты измерения  $\sigma_n(\theta)/\sigma_0$  настоящей работы для системы  $\text{Kr}^+ - \text{W}$ . Сплошная кривая, соединяющая точки 4, иллюстрирует эмпирическую зависимость

$$(3) \quad \sigma_n/\sigma_0 \approx \cos \theta + 0,333(1 + 1/\sigma_0)^{-1} \sin^2 \theta |\sin^2 \theta - \sqrt{\cos \theta}|.$$

Точки 5 — данные расчета  $\sigma_t$  при отражении атомов газа от плоской квадратной решетки [20]. Кривая 6 — расчетные значения коэффициента тан-

тансиального импульса при взаимодействии атомных частиц с решеткой мягких сфер [1], 7 — расчетные значения  $\sigma_t$  при отражении атомов газа от решетки твердых сфер [1]. Точки кривой 8 характеризуют результаты измерений для системы  $\text{Kr}^+ - \text{W}$  настоящей работы.

Фиг. 5, б иллюстрирует зависимости  $\sigma_n(\theta)/\sigma_0$  и  $\sigma_t(\theta)$  при  $\mu = 0,3$ . Точки 1, 4 соответствуют результатам расчета при рассеянии атомных частиц плоской квадратной решеткой [20]. Кривая 2 — расчетные значения коэффициента нормального импульса при взаимодействии атомов газа с решеткой мягких сфер [1]. Кривая 3 характеризует результаты численного моделирования процесса столкновения атомных частиц с поверхностью твердого тела работы [22]. Точками 5 показаны расчетные значения коэффициента тангенциального импульса [22]. Кривая 6 иллюстрирует расчетные данные работы [20]. Точки 7 характеризуют отражение атомов газа от решетки твердых сфер, а 8 — от решетки мягких сфер [1]. Кривые 9, 10 — данные измерений настоящей работы ( $\text{Ar}^+ - \text{Mo}$ ). Сплошная кривая 9 иллюстрирует эмпирическую зависимость

$$\sigma_n/\sigma_0 \simeq \cos \theta + 0,333(1 + 1/\sigma_0)^{-1} \sin^2 \theta (\sin^2 \theta - \sqrt{\cos \theta}).$$

Фиг. 5, в иллюстрирует зависимости  $\sigma_n(\theta)/\sigma_0$  и  $\sigma_t(\theta)$  при  $\mu \simeq 0,1$ . Кривые 1, 2 — результаты расчета  $\sigma_n$  при взаимодействии атомных частиц с объемно-центрированной и гранецентрированной решетками [23], 3 — данные, приведенные в [1, фиг. 17]. Точки 4 — расчетные значения  $\sigma_t$  из [22], 5, 6 — результаты расчета  $\sigma_t$  для объемно-центрированной и гранецентрированной решеток трехмерного кристалла [23]. Кривая 7 — данные [1, фиг. 17], 8, 9 — результаты измерений настоящей работы для  $\text{Ne}^+ - \text{W}$ . Сплошная кривая для точек 8 соответствует эмпирической аппроксимации

$$\sigma_n/\sigma_0 \simeq \cos^{3/2} \theta + 0,333(1 + 1/\sigma_0)^{-1} \sin^2 \theta \cos 2\theta.$$

На фиг. 6 приведены результаты аналогичных исследований, выполненных для ионов азота  $\text{N}_2^+$  на мишениях технических сплавов при  $v_\infty \simeq \simeq 10 \text{ км/с}$ . Штриховыми линиями показаны результаты расчетов  $\sigma_n(\theta)/\sigma_0$  и  $\sigma_t(\theta)$  молекулярного азота на трехмерном кристалле Si, кристалле сплава Al и Cu с преобладанием Al (по составу близок к Д16АТ) и на поверхности стали с различным содержанием Cr и Ni (состав близок к 12Х18Н10Т) при орбитальных скоростях. Сплошные кривые для  $\sigma_n/\sigma_0$  соответствуют эмпирической зависимости (3).

Возможной причиной наблюдаемого расхождения экспериментальных и расчетных данных для зависимостей  $\sigma_n(\theta)$  и  $\sigma_t(\theta)$  при наклонном падении является разница в состоянии поверхностей атомарно-гладких идеальных кристаллических мишеней, для которых выполнены численные оценки, и реальных поликристаллических мишеней, для которых проведены экспериментальные исследования. В пользу подобного предположения свидетельствует тот факт, что для  $\sigma_t(\theta)$  по сравнению с  $\sigma_n(\theta)$  степень наблюдаемого расхождения увеличивается, коэффициент аккомодации тангенциального импульса более чувствителен к состоянию бомбардируемой поверхности.

Необходимо отметить, что сравнение измеренных для газовых ионов значений  $\sigma_n$  и  $\sigma_t$  проводилось с результатами вычислений, выполненных для нейтральных частиц. Вопрос о соответствии измеренных для ионов значений  $\sigma_n$  и  $\sigma_t$  аналогичным данным для нейтралов обсуждался в [7, 16]. Условием такого соответствия в (2) является  $\eta^2 \simeq 0$ . В данной рабо-

Таблица 1

Газ	$\text{Xe}^+$	$\text{Kr}^+$	$\text{Ar}^+$	$\text{N}_2^+$	$\text{Ne}^+$	$\text{He}^+$
$C_{\text{эксперим}}^{\text{Al}}$	1,941	1,926	2,043	1,974	2,107	2,281

Таблица 2

Материал мишени	Si(сб)	D16AT	АМг6-БМ	Сталь 25	12Х18Н10Т
$C_x$ сферы	1,882	1,981	2,019	1,962	2,042

те измерение  $F_x$  и  $F_y$  с использованием (1) проводилось при потенциалах мишени, равных потенциальну плазмы ( $V = 0$ ). При таких потенциалах мишени различие во взаимодействии ионного и нейтрального компонентов с поверхностью твердого тела обусловлено влиянием силы электрического изображения. При скорости потока ионов  $u_\infty = 10$  км/с для всех рассмотренных систем газ — поверхность, за исключением  $\text{He}^+$  — поверхность,  $\chi \ll W_i$ . Это подтверждается результатами оценок работы [16] для  $\sigma_n(\text{N}_2^+ - \text{Cu})$ . В пользу такой оценки свидетельствуют также результаты измерения  $C_x$  алюминиевой сферы диаметром 38 мм в потоке разреженной плазмы  $\text{He}^+$ ,  $\text{Ne}^+$ ,  $\text{N}_2^+$ ,  $\text{Ar}^+$ ,  $\text{Kr}^+$  и  $\text{Xe}^+$  при  $u_\infty \simeq 10$  км/с (табл. 1) и результаты расчетов  $C_x$  сферы, выполненные с использованием измеренных зависимостей  $\sigma_n(\theta)$  и  $\sigma_t(\theta)$  для алюминиевых сплавов (табл. 2). При расчетах  $C_x$  сферы учитывалось изменение температуры поверхности исследуемых мишеней при измерении зависимостей  $\sigma_n(\theta)$  и  $\sigma_t(\theta)$  от  $T_w = 340$  К ( $\theta = 0$ ) до  $T_w = 310$  К ( $\theta = \pi/2$ ). Данные расчетов  $C_x$  сферы удовлетворительно согласуются с результатами аналогичных вычислений для различных схем взаимодействия атомных частиц с поверхностью, приведенными в [24].

Поступила 6 IV 1983

#### ЛИТЕРАТУРА

- Баранцев Р. Г. Взаимодействие разреженных газов с обтекаемыми поверхностями. М.: Наука, 1975.
- Рыжков Ю. А., Стриженов Д. С. О взаимодействии атомов газа с поверхностью твердого тела. — ИМТФ, 1967, № 4.
- Шувалов В. А., Резниченко П. П., Гаврилов А. В. Исследование параметров взаимодействия потока разреженной плазмы с электропроводящими поверхностями с помощью термоанемометрических зондов. — ТВТ, 1981, т. 19, № 3.
- Шувалов В. А. Об аккомодации энергии газовых ионов на поверхности поликристаллов. — ИМТФ, 1983, № 6.
- Гуревич А. В., Москаленко А. М. О торможении тел, движущихся в разреженной плазме. — В кн.: Исследование космического пространства. М.: Наука, 1965.
- Курышев А. П., Филиппов Б. В. Аэродинамические коэффициенты тел вращения в сильно разреженной плазме. — В кн.: Аэродинамика разреженных газов. Вып. 4. Л.: изд. Ленингр. ун-та, 1969.
- Филиппов Б. В. Взаимодействие газовых ионов с поверхностью металла. — В кн.: Аэродинамика разреженных газов. Вып. 3. Л.: изд. Ленингр. ун-та, 1967.
- Weber W. J., Armstrong R. J., Trulsen J. Ion-beam diagnostics by means of an electron-saturated plane Langmuir probe. — J. Appl. Phys., 1979, vol. 50, N 7.
- Ковтуненко В. М., Камеко В. Ф., Ясекевич Э. П. Аэродинамика орбитальных космических аппаратов. Киев: Наукова думка, 1977.
- Марсден Д. Г. Микровесы средней чувствительности для измерения сил давления молекулярных пучков. — Приборы для научных исследований, 1968, т. 39, № 1.
- Грищенко А. П., Магда И. Н. Микровесы с конденсаторным датчиком с изгибающимися обкладками. — ПТЭ, 1966, № 5.
- Шувалов В. А., Губин В. В. Об определении степени неизотермичности потока разреженной плазмы зондовыми методами. — ТВТ, 1978, т. 16, № 4.
- Фоменко В. С., Подчериляева П. А. Эмиссионные и адсорбционные свойства веществ и материалов. М.: Атомиздат, 1975.
- Каминский М. Атомные и ионные столкновения на поверхности металла. М.: Мир, 1967.
- Арифов У. А. Взаимодействие атомных частиц с поверхностью твердого тела. М.: Наука, 1968.
- Mair W. N., Viney B. W., Colligon J. S. Experiments on the accommodation of normal momentum. — In: Rarefied Gas Dynamics. Vol. 1. N. Y.: Acad. Press, 1967.
- Ерофеев А. И., Жбакова А. В. Расчет столкновений атома газа с поверхностью для различных моделей твердого тела. — Учен. зап. ЦАГИ, 1972, т. 3, № 5.
- Киттель Ч. Введение в физику твердого тела. М.: Наука, 1978.

19. Жирифалько Л. Статистическая физика твердого тела. М.: Мир, 1975.
20. Ерофеев А. И. Об обмене энергией и импульсом между атомами и молекулами газа и поверхностью твердого тела. — ПМТФ, 1967, № 2.
21. Пярнику А. А. Расчет взаимодействия моноэнергетического пучка атомов газа с трехмерным кристаллом. — ПМТФ, 1970, № 2.
22. Пярнику А. А. Модели взаимодействия разреженного газа с поверхностью. — В кн.: Численные методы в теории разреженных газов. М.: ВЦ АН СССР, 1969.
23. Руагрики А. А. Computer study of gas atoms scattering from solid surface with application to calculation of satellite drag coefficient. — Entropic, 1971, N 42.
24. Басс В. П. Расчет обтекания тел потоком сильно разреженного газа с учетом взаимодействия с поверхностью. — Изв. АН СССР. МЖГ, 1978, № 5.

УДК 533.534—13

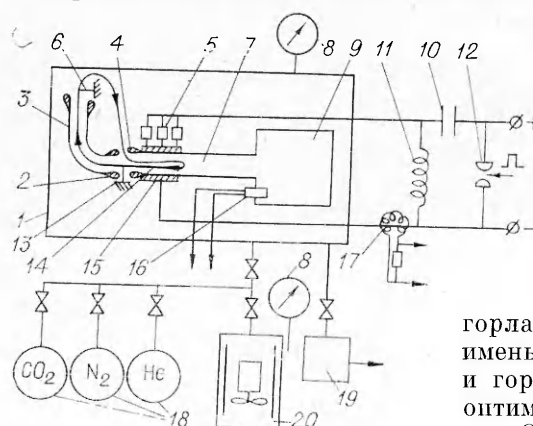
## ИССЛЕДОВАНИЕ ИМПУЛЬСНО-ПЕРИОДИЧЕСКОГО ГАЗОВОГО РАЗРЯДА В КАМЕРЕ С РЕЗОНАТОРОМ ГЕЛЬМГОЛЬЦА

*A. B. Губарев, A. A. Некрасов, H. K. Новиков*  
(Москва)

В [1, 2] указывалось на возможность использования тепловой энергии, выделяющейся в газоразрядной камере импульсно-периодического CO<sub>2</sub>-лазера с резонатором Гельмгольца, для возбуждения нелинейных колебаний в резонаторе и соответственно осуществления волновой симпрачки газовой смеси. Это предложение основывалось на практических реализациях пульсирующих воздушно-реактивных двигателей и камер вибрационного горения с резонатором Гельмгольца [3, 4], а также на результатах расчетно-теоретических оценок и непосредственного численного эксперимента [1, 2]. Однако тлеющий разряд импульсно-периодического CO<sub>2</sub>-лазера имеет ряд особенностей (необходимость обеспечения достаточно однородных параметров газовой среды в разрядной камере, относительно низкие удельные энерговклады и др.), и поэтому выводы [1, 2] требуют непосредственного экспериментального подтверждения. В данной работе излагаются предварительные результаты такого эксперимента.

Эксперименты по волновой прокачке газовой смеси, осуществляемой при помощи резонатора Гельмгольца за счет возбуждения в нем нелинейных колебаний, проводились на установке, схема которой приведена на фиг. 1. В герметичной камере 1 с размерами 0,5 × 0,3 × 0,3 м<sup>3</sup> устанавливался резонатор Гельмгольца, включающий в себя горло 7, выполненное в виде трубы прямоугольного сечения 0,035 × 0,07 м<sup>2</sup> и длиной 0,3 м, и сосуд 9 объемом 1000 см<sup>3</sup>. В горле резонатора в непосредственной близости от его входного участка, представляющего собой сопловой насадок 4, размещалась разрядная камера 14 с электродами 5 и 15. На некотором расстоянии от соплового насадка находился газоприемник 2 (эксперименты проводились и без газоприемника), соединенный с поворотной трубой 3, в выходном сечении которой располагался чувствительный элемент 6 в виде лепестка из лавсановой пленки толщиной ~10 мкм. Такой же чувствительный элемент 13 располагался на выходе из соплового насадка. Объем разрядной камеры составлял ~84 см<sup>3</sup> при межэлектродном расстоянии ~3,5 см и длине электродов вдоль горла ~4 см. Отношение площади наименьшего сечения соплового насадка и горла варьировалось и составляло в оптимальном случае 40%.

О возникновении циркуляции газа (на фиг. 1 примерный путь движения



Фиг. 1